

ЛИТЕРАТУРА

1. Крагельский, И. В. Основы расчетов на трение и износ / И. В. Крагельский, М. Н. Добычин, В. С. Комболов. – М.: Машиностроение, 1977.
2. Мышкин, Н. К. Трибология. Принципы и прило-

жения / Н. К. Мышкин, М. И. Петроковец. – Гомель: ИММС НАН Беларуси, 2002. – 310 с.

3. Кузнецова, Т. А. Исследование износстойкости комбинированных вакуумных электродуговых покрытий на основе ZrHf / Т. А. Кузнецова, М. А. Андреев, Л. В. Маркова // Трение и износ. – 2005. – Т. 26, № 5. – С. 521–529.

Поступила 17.03.2006

УДК 681.511

ПАРАМЕТРИЧЕСКИЙ СИНТЕЗ УСТОЙЧИВЫХ СЕМЕЙСТВ ДИНАМИЧЕСКИХ СИСТЕМ

*Канд. техн. наук, доц. НЕСЕНЧУК А. А.,
аспиранты ОСИПЯН А. И., ФЕДОРОВИЧ С. М.*

Белорусский национальный технический университет

Функционирование разнообразных технических устройств практически всегда сопряжено с отклонениями параметров от номинальных значений, установленных техническими требованиями. Подобные отклонения могут привести к значительной неопределенности и нарушению режима работы устройства, вплоть до его выхода из строя. Одним из основных направлений исследований систем с неопределенностью является параметрическое направление [1–5], рассматриваемое в настоящей статье. Наиболее значительные успехи были достигнуты в области анализа устойчивости систем. В рамках частотного подхода известны работы Я. З. Цыпкина и Б. Т. Поляка [1], труды В. Л. Харитонова, Б. Р. Бармиша и Р. Темпо посвящены алгебраическому [2] и корневому [3] подходам. В данной работе развивается корневое направление [4, 5] к проблеме. Формулируются условия устойчивости для использования с целью параметрического синтеза робастных САУ.

Формирование корневого портрета. Рассмотрим интервальную динамическую систему (ИДС), описываемую семейством характеристических полиномов:

$$P(s) = a_0 s^n + a_1 s^{n-1} + \dots + a_{n-1} + a_n, \quad (1)$$

где $\underline{a}_j \leq a_j \leq \bar{a}_j$, $j = \overline{0, n}$, $a_0 \neq 0$, \underline{a}_j и \bar{a}_j – соответственно действительные значения мини-

мальной и максимальной границ замкнутого интервала изменения коэффициента a_j , которая представляет собой систему с параметрической неопределенностью.

Сделав в (1) замену переменного $s = \sigma + i\omega$, запишем выражение относительно выбранного варьируемого коэффициента a_k

$$a_k = f(s) = u(\sigma, \omega) + iv(\sigma, \omega), \quad (2)$$

где $u(\sigma, \omega)$ и $v(\sigma, \omega)$ – гармонические функции двух независимых действительных переменных σ и ω .

Интервальное семейство рациональных функций отображения (2) позволяет формировать в плоскости s корневой портрет системы. Тогда уравнение корневого годографа Теодорчика – Эванса [4] определяется выражением

$$v(\sigma, \omega) = 0, \quad (3)$$

а уравнение параметра [4] – выражением

$$a_k = u(\sigma, \omega). \quad (4)$$

Динамика корневого портрета на границе устойчивости. Устойчивость семейства (1) зависит от расположения его корней относительно мнимой оси $i\omega$ плоскости корней s , являющейся границей асимптотической устойчи-

вости. Рассмотрим характер пересечения границы годографами корневого портрета.

Положим, что варьируемым коэффициентом, т. е. параметром корневого годографа, является свободный член (1) $a_k = a_n$. Определим в общем виде уравнение (3) годографа на границе устойчивости. При четных $n, n/2$ оно имеет вид

$$\begin{aligned} v(\omega) = & -a_1 \omega^{n-1} + a_3 \omega^{n-3} - a_5 \omega^{n-5} + \dots - \\ & - a_{n-3} \omega^3 + a_{n-1} \omega = 0. \end{aligned} \quad (5)$$

Для вычисления значений параметра в точках пересечения границы устойчивости ветвями годографов определим также в общем виде уравнение (4) параметра годографа на этой границе. При четных $n, n/2$ оно имеет вид

$$\begin{aligned} u(\omega) = & -a_0 \omega^n + a_2 \omega^{n-2} - a_4 \omega^{n-4} + \dots - \\ & - a_{n-4} \omega^4 + a_{n-2} \omega^2 = a_n. \end{aligned} \quad (6)$$

Уравнения годографа и параметра для случаев, когда n четно, $n/2$ нечетно; n нечетно, $(n-1)/2$ четно и n нечетно, $(n-1)/2$ нечетно, выводятся таким же образом. Далее исследование будем вести применительно к случаю, когда n четно, $n/2$ четно (5), (6), поскольку для всех четырех случаев оно проводится аналогично.

Область пересечений. Ввиду аналитичности и непрерывности функций (5), (6) очевидно, что точки пересечения границы устойчивости ветвями годографов портрета образуют на этой оси некоторую многолистную область [5] D_ω , причем каждая ветвь образует непрерывную подобласть (лист) указанной области.

Определение 1. Область пересечений границы асимптотической устойчивости годографами корневого портрета ИДС назовем областью пересечений портрета.

Определим множество координат ω_{D_i} точек пересечения границы устойчивости, составляющих область пересечений, как множество $W_D = \{\omega_{D_i}\}$. Множество значений a_{D_i} параметра в точках ω_{D_i} обозначим как $A_D = \{a_{D_i}\}$.

Область экстремумов. Выразим экстремальные значения функции параметра (6) в области D_ω . Для этого выполним ее исследование на экстремум

$$\begin{aligned} u'(\omega) = & +na_0\omega^{n-1} - (n-2)a_2\omega^{n-3} + (n-4)a_4\omega^{n-5} - \\ & - \dots + 4a_{n-4}\omega^3 - 2a_{n-2}\omega = 0. \end{aligned} \quad (7)$$

Корни уравнения (7) формируют множество $W_e = \{\omega_{e_i}\}$ точек экстремума функции параметра на границе устойчивости, т. е. ее область экстремумов D_e . Соответствующее множество значений функции параметра в точках множества W_e определяется как $A_e = \{a_{e_i}\}$ на основании (6).

Запишем выражения первой производной:

$$\begin{aligned} u'(\omega) = & +n\underline{a}_0\omega^{n-1} - (n-2)\bar{a}_2\omega^{n-3} + \\ & + (n-4)\underline{a}_4\omega^{n-5} - \dots + 4\underline{a}_{n-4}\omega^3 - 2\bar{a}_{n-2}\omega = 0; \end{aligned} \quad (8)$$

$$\begin{aligned} u'(\omega) = & +n\bar{a}_0\omega^{n-1} - (n-2)\underline{a}_2\omega^{n-3} + \\ & + (n-4)\bar{a}_4\omega^{n-5} - \dots + 4\bar{a}_{n-4}\omega^3 - 2\underline{a}_{n-2}\omega = 0 \end{aligned} \quad (9)$$

для определения соответственно максимальных и минимальных значений функции параметра на границе устойчивости в области пересечений портрета. Корни (8) и (9) формируют соответственно подмножества $W_{e_{\max}} \subset W_e$ и $W_{e_{\min}} \subset W_e$ координат точек максимума и минимума функции параметра в области D_ω . Подмножество значений параметра в точках подмножества $W_{e_{\max}}$ обозначим как $A_{e_{\max}}$, а в точках подмножества $W_{e_{\min}}$ – как $A_{e_{\min}}$.

Из формы уравнения параметра (6) следует, что границы $\bar{\omega}_e$ и $\underline{\omega}_e$ области экстремумов для системы при четных $n, n/2$:

$$\bullet \text{ верхняя} \quad \bar{\omega}_e = \sup W_{e_{\max}}; \quad (10)$$

$$\bullet \text{ нижняя} \quad \underline{\omega}_e = \inf W_{e_{\max}}. \quad (11)$$

Характер распределения функции параметра вдоль границы устойчивости. Интервальное семейство функций (7) порождает семейство кривых (рис. 1) распределения функции параметра траекторий $u(\omega)$ вдоль границы устойчивости. Для упрощения рисунка точки экстремума функции соединены прямыми линиями, хотя в действительности они представляют собой кривые. Участки возрастания функ-

ции параметра обозначены знаком плюс, убыния функции – знаком минус. Из уравнения параметра (6) следует, что кривая, порождаемая функцией (8), является мажорантой, а порождаемая функцией (9) – минорантой семейства.

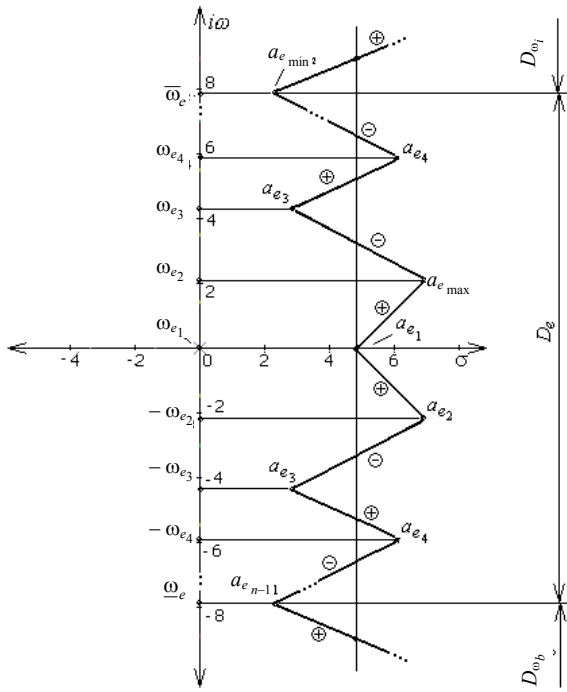


Рис. 1. Динамика функции параметра на границе устойчивости

Исходя из (5), (6), (8), (9), координаты точек экстремума и значения функции параметра в этих точках, а следовательно, и границы области экстремумов (10), (11) зависят только от коэффициентов при четных степенях характеристического уравнения (1). Если хотя бы один из коэффициентов изменяется на бесконечном интервале, то область пересечений D_ω бесконечна.

Область пересечений D_ω разделяется на три области:

- D_e – экстремумов, в пределах интервала $[\underline{\omega}_e, \bar{\omega}_e]$;
- D_{ω_l} – пересечений верхнюю, в пределах интервала $[\bar{\omega}_e, \infty]$;
- D_{ω_b} – пересечений нижнюю, в пределах интервала $[-\infty, \underline{\omega}_e]$.

Реальная область пересечений. При задании границ интервалов вариации параметра

область пересечений D_ω не бесконечна и является ограниченной. Максимальная $\bar{\omega}_D$ и минимальная $\underline{\omega}_D$ координаты, ограничивающие область пересечений, определяются из уравнения корневого годографа (5).

Границы реальной области D_ω пересечений заданного портрета могут различным образом располагаться по отношению к границам области экстремумов D_e . Например, реальная область пересечений может включать область экстремумов (рис. 2) или только ее некоторую часть, а также располагаться за ее пределами.

Координаты максимальных верхних и минимальных нижних границ участков в семействе кривых распределения функции параметра для реальной области пересечений корневого портрета определяются соответственно из уравнений

$$v(\omega) = -\underline{a}_1 \omega^{n-1} + \bar{a}_3 \omega^{n-3} - \underline{a}_5 \omega^{n-5} + \dots - \underline{a}_{n-3} \omega^3 + \bar{a}_{n-1} \omega = 0; \quad (12)$$

$$v(\omega) = -\bar{a}_1 \omega^{n-1} + \underline{a}_3 \omega^{n-3} - \bar{a}_5 \omega^{n-5} + \dots - \bar{a}_{n-3} \omega^3 + \underline{a}_{n-1} \omega = 0, \quad (13)$$

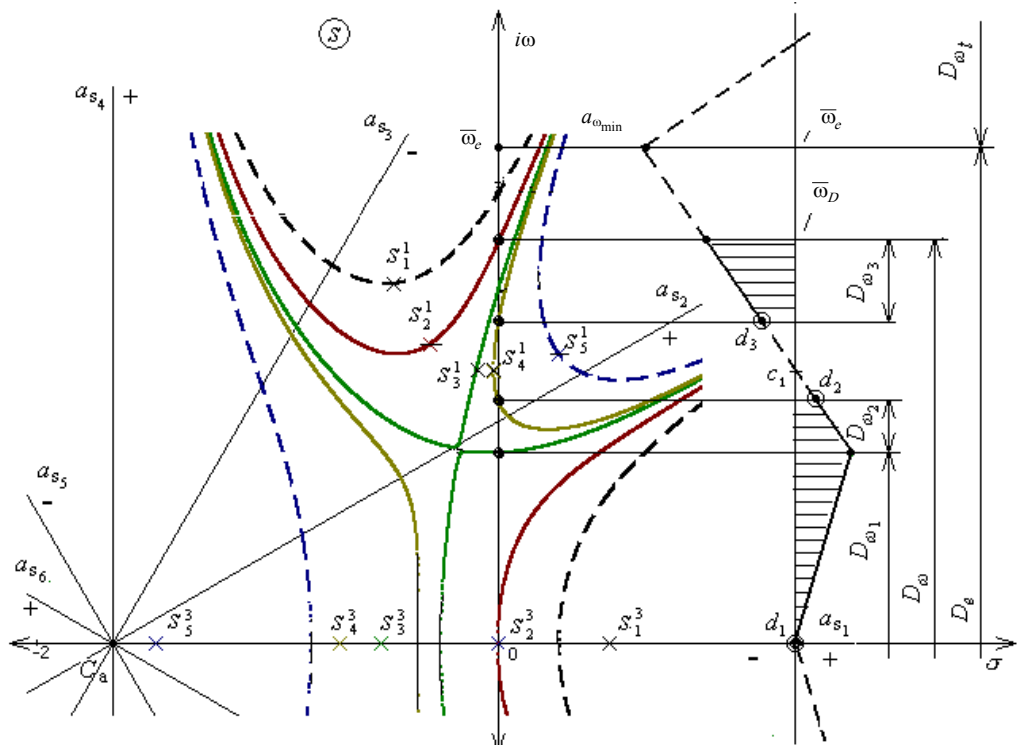
а максимальные и минимальные значения параметра на этих границах – по формулам

$$u(\omega) = -\underline{a}_0 \omega^n + \bar{a}_2 \omega^{n-2} - \underline{a}_4 \omega^{n-4} + \dots - \underline{a}_{n-4} \omega^4 + \bar{a}_{n-2} \omega^2 = a_{n\max}; \quad (14)$$

$$u(\omega) = -\bar{a}_0 \omega^n + \underline{a}_2 \omega^{n-2} - \bar{a}_4 \omega^{n-4} + \dots - \bar{a}_{n-4} \omega^4 + \underline{a}_{n-2} \omega^2 = a_{n\min}. \quad (15)$$

Из (12), (13) определяются максимальная $\bar{\omega}_D$ и минимальная $\underline{\omega}_D$ границы реальной области пересечений.

На рис. 2 представлено поле корневых траекторий системы шестого порядка. Область пересечений состоит из подобластей D_{ω_1} , D_{ω_2} и D_{ω_3} , формируемых при пересечении границы устойчивости двумя ветвями каждого годографа поля.


 Рис. 2. Область пересечений границы устойчивости $i\omega$ ветвями годографов поля

Доминирующие ветви. Для каждой кривой распределения (рис. 1) имеет место чередование участков возрастания и убывания функции параметра. Причем может быть два варианта пересечения этих участков: слева направо и справа налево. В этой связи выделим четыре подобласти областей пересечений:

- \bar{D}_g – на участках возрастания функции параметра ветвями слева направо;
- \bar{D}_g – на участках возрастания функции параметра ветвями справа налево;
- \bar{D}_f – на участках убывания функции параметра ветвями слева направо;
- \bar{D}_f – на участках убывания функции параметра ветвями справа налево.

Определение 2. Доминирующую ветвью областей \bar{D}_g и \bar{D}_f назовем ветвь, пересекающую границу устойчивости в точке с наименьшим значением параметра траекторий, а областей \bar{D}_g и \bar{D}_f – ветвь, пересекающую границу устойчивости в точке с наибольшим значением параметра траекторий в данной области.

Определение 3. Полином интервального семейства, корневому годографу которого принадлежит доминирующая ветвь, назовем доминирующим полиномом.

Синтез устойчивого семейства. Сформулируем следующее утверждение.

Утверждение 1. Если доминирующие ветви областей \bar{D}_g , \bar{D}_f , \bar{D}_g и \bar{D}_f пересечения границы устойчивости ветвями корневого портрета интервальной системы являются устойчивыми, то корневой портрет системы устойчив.

Доказательство. Если доминирующая ветвь одной из областей \bar{D}_g , \bar{D}_f , \bar{D}_g или \bar{D}_f устойчива, то, очевидно, что устойчивым будет и подсемейство ветвей, пересекающих границу устойчивости в этой области. Поскольку корневой портрет системы состоит из указанных четырех подсемейств ветвей, то устойчивость всех подсемейств влечет за собой устойчивость портрета системы в целом.

Очевидно, что доминирующие ветви областей \bar{D}_g , \bar{D}_f пересекают границу устойчивости на участках кривой распределения параметра в точках с минимальными для своих участков координатами ω , т. е. на нижних границах соответствующих участков (13), а доминирующие ветви областей \bar{D}_f , \bar{D}_g – в точках с максимальными для своих участков координатами ω , т. е. на верхних границах соответствующих участков (12). На этом основании, исходя из формул (12)–(15) сформируем для интервального

семейства полиномов (1) (при четных $n, n/2$) четыре доминирующих полинома:

$$\begin{aligned} d_1(s) = & -\underline{a}_0 s - \underline{a}_1 s^{n-1} + \bar{a}_2 s^{n-2} + \bar{a}_3 s^{n-3} - \underline{a}_4 s^{n-4} - \\ & - \dots - \underline{a}_{n-4} s^4 - \underline{a}_{n-3} s^3 + \bar{a}_{n-2} s^2 + \bar{a}_{n-1} s; \end{aligned} \quad (16)$$

$$\begin{aligned} d_2(s) = & -\bar{a}_0 s^n - \underline{a}_1 s^{n-1} + \underline{a}_2 s^{n-2} + \bar{a}_3 s^{n-3} - \bar{a}_4 s^{n-4} - \\ & - \dots - \bar{a}_{n-4} s^4 - \underline{a}_{n-3} s^3 + \underline{a}_{n-2} s^2 + \bar{a}_{n-1} s; \end{aligned} \quad (17)$$

$$\begin{aligned} d_3(s) = & -\underline{a}_0 s^n - \bar{a}_1 s^{n-1} + \bar{a}_2 s^{n-2} + \underline{a}_3 s^{n-3} - \underline{a}_4 s^{n-4} - \\ & - \dots - \underline{a}_{n-4} s^4 - \bar{a}_{n-3} s^3 + \bar{a}_{n-2} s^2 + \underline{a}_{n-1} s; \end{aligned} \quad (18)$$

$$\begin{aligned} d_4(s) = & -\bar{a}_0 s^n - \bar{a}_1 s^{n-1} + \underline{a}_2 s^{n-2} + \underline{a}_3 s^{n-3} - \bar{a}_4 s^{n-4} - \\ & - \dots - \bar{a}_{n-4} s^4 - \bar{a}_{n-3} s^3 + \underline{a}_{n-2} s^2 + \underline{a}_{n-1} s. \end{aligned} \quad (19)$$

На основе утверждения 1 сформулируем следующее утверждение.

Утверждение 2. Для асимптотической устойчивости характеристического семейства полиномов интервальной системы необходимо и достаточно устойчивости четырех доминирующих полиномов (16)–(19) этого семейства.

Как видно, полиномы (16)–(19) аналогичны полиномам Харитонова [2]. Однако в отличие от них доминирующие полиномы также предоставляют информацию о том, каким образом следует изменять коэффициенты, если хотя бы один из этих полиномов в результате проверки оказался неустойчивым.

Обозначим значения функции параметра в точках пересечения границы устойчивости доминирующими ветвями годографов портрета следующим образом: в области $\bar{D}_g - \bar{a}_g$, $\bar{D}_f - \bar{a}_f$, $\bar{D}_g - \underline{a}_g$, $\bar{D}_f - \underline{a}_f$. Выберем из них следующие:

$$\bar{a}_{\min} = \inf\{\bar{a}_g, \bar{a}_f\}; \quad (20)$$

$$\bar{a}_{\max} = \sup\{\bar{a}_g, \bar{a}_f\}. \quad (21)$$

Тогда, если начальные точки [5] доминирующих полиномов расположены в левой полуплоскости, то для асимптотической устойчивости интервального семейства (1) необходимо и достаточно, чтобы выполнялось неравенство

$$\bar{a}_n < \bar{a}_{\min}. \quad (22)$$

Если часть начальных точек доминирующих полиномов расположена в правой полуплоскости и положительные ветви, выходящие из этих точек, пересекают границу устойчивости, для асимптотической устойчивости интервального семейства (1) необходимо и достаточно, чтобы выполнялись неравенства:

$$\bar{a}_n < \bar{a}_{\min}; \quad (23)$$

$$\underline{a}_n > \bar{a}_{\max}. \quad (24)$$

Для нахождения значений \bar{a}_{\min} и \bar{a}_{\max} достаточно решить соответственно уравнения корневого годографа (13) и (12) и затем подставить полученные координаты ω в соответствующие уравнения параметра (15) и (14).

ВЫВОД

В рамках параметрического подхода имеется ряд условий устойчивости для систем с неопределенностью. Эти условия, однако, позволяют либо только проверить устойчивость, например [2], либо являются условиями гурвицовой робастной устойчивости [1], т. е. определяют некоторый диапазон устойчивости для номинальной устойчивой системы. В данной работе, благодаря рассмотрению корневых годографов семейства характеристических полиномов интервальной системы (ее корневого портрета), выявлены особенности динамики корней полиномов семейства в плоскости корней, что позволило получить условия устойчивости для исходной неустойчивой системы, которые дают возможность также рассчитать значения параметров, обеспечивающие эту устойчивость.

ЛИТЕРАТУРА

- Поляк, Б. Т. Робастная устойчивость при комплексных возмущениях параметров / Б. Т. Поляк, Я. З. Цыпкин // АиТ. – 1991. – № 8. – С. 45–55.
- Харитонов, В. Л. Об асимптотической устойчивости положения равновесия семейства систем линейных дифференциальных уравнений / В. Л. Харитонов // Дифференциальные уравнения. – 1978. – Т. XIV, № 11. – С. 2086–2088.
- Barmish, B. R. The robust root locus / B. R. Barmish, R. Tempo // Automatica. – 1993. – Vol. 26. – P. 183–192.
- Римский, Г. В. Автоматизация исследований динамических систем / Г. В. Римский, В. В. Таборовец. – Минск: Наука и техника, 1978. – 336 с.
- Несенчук, А. А. Анализ и синтез робастных динамических систем на основе корневого подхода / А. А. Несенчук. – Минск: ОИПИ НАН Беларуси, 2005. – 234 с.

Поступила 6.06.2006